

# بررسی خصوصیات فیزیکی رسوبات همیشه مستغرق مخزن سد دز با استفاده از اندازه‌گیری میدانی و روش‌های تجربی

حسین صمدی بروجنی<sup>۱\*</sup>، منوچهر فتحی مقدم<sup>۲</sup> و ابراهیم زلکی<sup>۳</sup>

۱- نویسنده مسئول، استادیار گروه مهندسی آب، دانشگاه شهرکرد و رئیس مرکز تحقیقات منابع آب

۲- استاد دانشکده مهندسی علوم آب دانشگاه شهید چمران اهواز

۳- کارشناس ارشد سازه‌های آبی و مدیر بخش کنترل رسوب، سازمان آب و برق خوزستان

تاریخ پذیرش: ۱۳۹۱/۷/۱۷

تاریخ دریافت: ۱۳۹۰/۱۱/۵

## چکیده

رسوبگذاری در مخازن سدها به عنوان عامل اصلی کوتاه کردن عمر مفید سد حائز اهمیت زیادی است. در این تحقیق بررسی خصوصیات فیزیکی مخزن سد دز، با استفاده از نتایج اندازه‌گیری‌های میدانی و روش‌های تجربی مورد توجه قرار گرفته است. طی عملیات اندازه‌گیری میدانی انجام گرفته در مخزن این سد، در ۱۲ مقطع از قسمت همیشه مستغرق مخزن، تعداد ۷۹ نمونه رسوب برداشت شده و آزمایش‌های مختلف فیزیکی بر روی آنها انجام گرفته است. نتایج نشان داد که در بازه موردنظر (تا ۲۵ کیلومتر بالا درست بدنه سد) رسوبات مخزن از نظر دانه‌بندی و جرم مخصوص از یک یکنواختی نسبی بالانه برخوردار هستند. همچنین نتایج نشان داد روش‌های تجربی تعیین جرم مخصوص رسوبات سدها برای تخمین جرم مخصوص رسوبات مخزن سد دز به طور متوسط درصد خطای داشت که این نتیجه بیانگر عدم کارائی آنها می‌باشد. این خطای معدوداً مربوط به خطای برآورد جرم مخصوص رسوبات رسی مخزن بر می‌گردد. همچنین در این تحقیق یک رابطه جدید برای محاسبه جرم مخصوص رسوبات مخزن سد دز بر مبنای دو پارامتر درصد رسوبات ریزدانه (مجموع درصد رس و سیلت) و درصد رسوبات درشت دانه (مجموع درصد ماسه و شن) به دست آمد.

کلید واژه‌ها: خصوصیات فیزیکی، رسوبات مستغرق، سد دز، روش‌های تجربی.

## Survey Physical Properties of the Always Submerged Sediments in Dez Dam Reservoir Using the Field Data and the Empirical Methods Application

H. Samadi-Boroujeni<sup>1</sup>, M. Fathi-Moghadam<sup>2</sup> and E. Zallaghi<sup>3</sup>

1- Assistant Professor Shahrekord University and Head of Water Resources Research Center, Shahrekord, Iran  
2- Professor, Shahid Chamran University, Ahwaz, Iran.

3- The Head of Sediment Control Division Khuzestan Water and Power Authority, Iran.

Received: 25.Jan.2012

Accepted: 8.Oct.2012

## Abstract

Sediment deposition is the principal problem affecting the useful life of reservoirs. Here we quantify the physical properties of sediments deposited in Dez dam reservoir by field investigations and empirical methods. Upon field investigation performed in the reservoir, 79 undisturbed sediment samples were taken from 12 cross sections of a 25 km of the reservoir upstream dam body where the sediments deposited have always been submerged. Results showed that grain size and bulk density of sediment deposited in the studied reach (up to 25 km upstream Dez dam body) are almost uniform and empirical methods for calculating bulk density in comparing of field data has averagely an error of 30%. This shows that the empirical methods aren't capable accurately to predict bulk density of fine sediment in Dez reservoir. Analysis of the results showed that the error mostly refer bulk density calculation of the clay sediments.

**Keywords:** Physical properties, Submerged sediments, Dez dam, Empirical methods.

#### مقدمه

دست آورند که از جمله آنها می‌توان به رابطه ارائه شده توسط لین و کالزر<sup>۳</sup> (۴) اشاره کرد که به صورت زیر می‌باشد:

$$\rho_t = \rho_1 + \sum_{i=1}^3 \frac{(B_i \times P_i)}{100} \times \log t \quad (۲)$$

که در آن  $\rho$ : جرم مخصوص ظاهری رسوبات پس از گذشت یک سال که از طریق رابطه لارا و پمبرتن به دست می‌آید،  $B_i$ : ضریب معادله که بر حسب نوع رسو از جدول<sup>(۴)</sup> تعیین می‌گردد،  $P_i$ : درصد هر یک از رسوبات در کلاس‌های مختلف رس، سیلت و ماسه؛  $t$ : جرم مخصوص ظاهری رسوبات پس از گذشت زمان  $t$  سال. میلر<sup>۴</sup> نیز رابطه زیر را برای محاسبه متوسط جرم مخصوص رسوبات ته نشین شده پس از  $t$  سال ارائه داده است<sup>(۵)</sup>.

$$\rho_t = \rho_1 + 0.4343 \times \left( \sum_{i=1}^3 \left( \frac{(B_i \times P_i)}{100} \right) \right) \times \left[ \frac{t}{t-1} (\ln t) - 1 \right] \quad (۳)$$

رابطه دیگری که در این زمینه ارائه شده است، رابطه نمائی به شرح زیر است<sup>(۶)</sup>:

$$\rho_t = \rho_1 \cdot t^{0.5 \log(1 + \frac{2B}{\rho_1})} \quad (۴)$$

کالزر و لارا<sup>۵</sup> رابطه زیر را برای تعیین جرم مخصوص رسوبات ته نشین شده در مخازن سدها ارائه دادند<sup>(۴)</sup>:

$$\gamma_s = 51(p+2)^{0.13} \quad (۵)$$

که در آن:  $\gamma_s$  جرم مخصوص رسوبات (بر حسب پوند بر فوت مکعب) و  $p$ : درصد رسو با اندازه بزرگتر از ۰/۰۵ میلی‌متر است. با توجه به اینکه با گذشت زمان، رسوبات مخزن دچار تراکم و یا تحکیم می‌شوند، جرم مخصوص رسوبات افزایش می‌یابد. از سوی دیگر بین جرم مخصوص رسوبات و سایر پارامترهای فیزیکی، روابطی وجود دارد که از جمله آنها می‌توان به موارد زیر اشاره کرد:

$$\gamma_d = \frac{G_s \gamma_w}{1+e} \quad (۶)$$

$$\gamma_{sat} = \frac{(G_s + e)\gamma_w}{1+e} \quad (۷)$$

بر اساس مطالعات کارشناسان فائو و با توجه به مشاهدات صحرائی و تفسیر عکس‌های هوایی، تولید سالیانه رسو حوضه سد دز بین ۳۰۰ تا ۳۰۰۰ تن در هر کیلومتر مربع تخمین زده شده، که معادل فرسایش سالیانه ۱/۵ میلی‌متر خاک در تمامی سطح حوضه ابریز می‌باشد<sup>(۷)</sup>. اکثر این رسوبات را بخش‌هایی از حوضه که در ارتفاعات قرار دارند تولید می‌کند و چون عمدتاً رسوبات ریزدانه هستند، به همراه جریان آب به نقطه خروجی حوضه می‌رسند. از زمان احداث سد دز، عده رسوبات ورودی در مخزن ته نشین شده است. نرخ رسوگذاری در مخزن سد دز با توجه به نتایج هیدرографی سال ۱۳۸۳ معادل ۱۵/۶ میلیون مترمکعب در سال برآورد شده است.

به طور معمول الگوی رسوگذاری در مخازن سدها به گونه‌ای است که در قسمت‌های ابتدایی مخزن (موسم به دلتای مخزن) رسوبات از نوع درشت دانه بوده و هرچه به بدن سد تزدیک می‌شوند، رسوبات ریزدانه‌تر شده به طوریکه غالباً رسوبات ته نشین شده در پشت بدن سد از نوع رسوبات چسبنده می‌باشند. در این رابطه حرکت جریان‌های غلیظ در بستر مخزن باعث می‌شود میزان ته نشینی رسوبات ریزدانه و چسبنده در پشت بدن سد افزایش یابد<sup>(۵)</sup>. با توجه به اهمیت رسوگذاری در مخازن سدها، استفاده از روش‌های مدیریت رسو جهت افزایش هرچه بیشتر عمر مخازن امری ضروری است و در این رابطه یکی از پیش‌نیازهای مهم تعیین پارامترهای فیزیکی رسوبات از جمله دانه‌بندی، جرم مخصوص و نسبت پوکی می‌باشد.

سرویس حفاظت از منابع طبیعی آمریکا<sup>۱</sup> به جای یک عدد مشخص برای جرم مخصوص رسوبات در مخازن سدها، بازه‌ای مطابق جدول<sup>(۱)</sup> ارائه دادند. لارا و پمبرتن<sup>۲</sup> با آنالیز بیش از ۱۳۰۰ نمونه رسو از مخازن سدها، روش تجربی زیر را برای تعیین جرم مخصوص اولیه رسوبات ارائه دادند<sup>(۵)</sup>:

$$\rho_1 = \rho_C P_C + \rho_M P_M + \rho_S P_S \quad (۱)$$

که در آن  $\rho_1$ : جرم مخصوص اولیه رسوبات ته نشین شده (در سال اول)،  $P_C$ ،  $P_M$  و  $P_S$ : به ترتیب درصد ذرات رس، سیلت و ماسه،  $\rho_C$  و  $\rho_M$  و  $\rho_S$  به ترتیب جرم مخصوص اولیه برای رسوبات رس، سیلت و ماسه که طبق جدول<sup>(۲)</sup> تعیین می‌شود. با توجه به اینکه با گذشت زمان رسوبات مخازن سدها متراکم شده و جرم مخصوص آنها کاهش می‌یابد لذا محققین دیگر سعی کرده‌اند تغییرات جرم مخصوص رسوبات را نسبت به زمان به

3- Lane and Koelzer

4- Miller

5- Koelzer and Lara

1- United State of Natural Resources Conservation Service

2- Lara and Pamberten

### جدول ۱- محدوده تغییرات جرم مخصوص رسبات (۸)

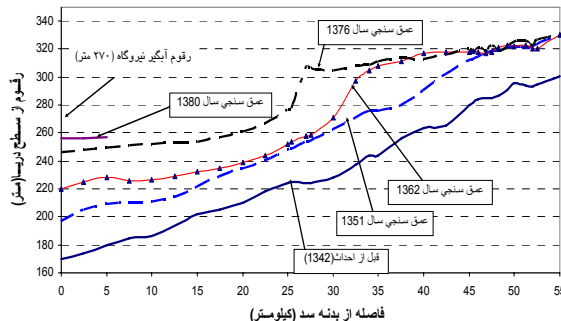
محدوده جرم مخصوص خشک رسبات (گرم بر سانتی‌مترمکعب)		نوع رسب
همیشه مستغرق		
۰/۲۸ تا ۰/۹۶	۰/۹۶ تا ۰/۶۴	رس
۱/۳۶ تا ۱/۲	۱/۲ تا ۰/۸۸	لای
۱/۳۶ تا ۱/۰۴	۱/۰۴ تا ۰/۶۴	مخلوط رس-لای
۱/۷۶ تا ۱/۵۲	۱/۵۲ تا ۱/۲	مخلوط ماسه-لای
۱/۶ تا ۱/۳۶	۱/۶ تا ۱/۳۶	ماسه
۲ تا ۱/۳۶	۲ تا ۱/۳۶	شن

### جدول ۲- مقادیر جرم مخصوص ظاهری خشک رسبات ( $\rho_1$ ) برای شرایط مختلف

بهره برداری از مخزن سد ( $kg / m^3$ )			
رس	سیلت	ماسه	وضعیت رسبات
۴۱۶	۱۱۲۰	۱۱۵۰	همیشه مستغرق
۵۶۱	۱۱۴۰	۱۱۵۰	به طور دوره‌ای خشک
۶۴۱	۱۱۵۰	۱۱۵۰	به طور معمول خشک

### جدول ۳- مقادیر پارامتر B رسبات برای شرایط مختلف بهره برداری از مخزن سد ( $kg / m^3$ )

رس	سیلت	ماسه	وضعیت رسبات
۲۵۶	۹۱	۰	همیشه مستغرق
۱۳۵	۲۹	۰	بطور دوره‌ای خشک
۰	۰	۰	بطور معمول خشک



شکل ۱- نیمرخ طولی رسبات مخزن سد دز در سال‌های مختلف

### مواد و روش‌ها

#### الف) سابقه رسبگذاری در مخزن سد دز

سد دز با ارتفاع ۲۰۳ متر و حجم اولیه مخزن ۳/۳۱۵ میلیارد مترمکعب از سال ۱۳۴۲ مورد بهره‌برداری است. ظرفیت نیروگاه این سد ۵۲۰ مگاوات با متوسط تولید برق ۲۴۰۰ گیگاوات ساعت در سال و میانگین سالانه دبی جریان ورودی به مخزن سد ۲۶۰

که در روابط بالا  $\gamma_d$ : جرم مخصوص خشک رسب،  $\gamma_{sat}$ :

جرم مخصوص اشباع رسب،  $\gamma_w$ : جرم مخصوص آب (در سیستم متربک بر حسب نیوتون برمترمکعب) و  $G_s$  و  $e$  به ترتیب چگالی ذرات رسب و نسبت پوکی می‌باشد.

نمونه رسوب برداشت شد که موقعیت آنها در نقشه شکل (۳) نشان داده شده است. در گمانه D نمونه‌ها تا عمق ۸ متر (فواصل عمقی یک متری)، در گمانه‌های E، R و V نمونه‌ها تا عمق ۶ متر (فواصل عمقی یک متری)، در گمانه F نمونه‌ها تا عمق ۴ متر (فواصل عمقی یک متری) برداشت شد و در سایر گمانه‌ها نمونه‌ها تا عمق ۱/۵ متر (یعنی اعماق  $0^{\circ}$ ،  $0^{\circ}$  و  $1/5$  متر از سطح رسوب) برداشت شد.

عمق آب روی رسوبات مخزن در مقاطع مورد نظر از ۳۸ تا ۸۵ متر متفاوت بود. نکته قابل توجه این است که در حین عملیات نمونه-برداری مشخص شد که رسوبات سطحی در محل هایی که رسوبات از نوع ریزدانه بودند، کاملاً شل بوده و امکان نمونه-برداری از آنها وجود نداشت. لذا ابتدا سطح رسوب با استفاده از یک جرم با تنش  $0/2$  نیوتن بر سانتی‌متر مربع تعیین می‌شد و نمونه‌ای که از این سطح برداشت می‌شد به عنوان نمونه عمق صفر در نظر گرفته می‌شد.

#### ج) آزمایش‌های انجام گرفته بر روی نمونه‌های رسوب

از جمله پارامترهای اندازه‌گیری شده بر روی نمونه‌های به دست امده از رسوبات مخزن سد می‌توان به دانه‌بندی و طبقه‌بندی رسوب، جرم مخصوص رسوبات، درصد رطوبت و نسبت پوکی اشاره کرد. برای طبقه‌بندی نمونه‌های رسوب از استاندارد ASTM D2488 استاندارد D: برای دانه‌بندی نمونه‌های رسوب از استاندارد ASTM D421-422. برای تعیین درصد رطوبت خاک از استاندارد ASTM D854 و برای تعیین جرم مخصوص ظاهري رسوبات از استاندارد ASTM D854 استفاده گردید (۱). با توجه به اینکه چگالی ذرات رسوب تغییرات قابل ملاحظه ندارند، لذا برای شش عدد از نمونه‌ها مقدار  $G_i$  اندازه‌گیری شد که متوسط آن برای نمونه‌های رسوب برابر  $2/69$  به دست آمد. همچنین حد خمیری و حد روانی رسوبات مخزن سد از طور متوسط به ترتیب  $15$  و  $35$  درصد به دست آمده است. با توجه به اینکه نمونه‌های رسوب از عمق‌های مختلف (صفر تا ۸ متر) برداشت شد، لذا عمر رسوبات برای محاسبه جرم مخصوص رسوبات مورد نیاز بود. به منظور تعیین عمر رسوبات در عمق‌های مختلف، از روی نیمرخ طولی بستر مخزن در زمان نمونه-برداری و با مقایسه با بستر مخزن قبل از ساخت سد (شکل ۱)، ارتفاع کل رسوبگذاری در محل نمونه-برداری‌ها تعیین زده شد. این نتیجه این امکان را فراهم آورد که بتوان از روش‌های تجربی مختلف برای محاسبه جرم مخصوص رسوبات استفاده کرد.

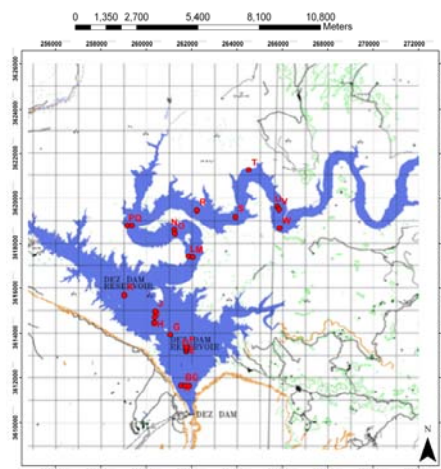
متزمکعب-برثایله است. نتیجه عملیات هیدروگرافی مخزن سد دز نشان می‌دهد از زمان بهره‌برداری سد، رسوبگذاری باعث شده به طور متوسط  $15/8$  میلیون متزمکعب در سال از گنجایش مخزن کسر شود و ضخامت رسوبات در پشت بدن سد به حدود  $100$  متر بررسد (۲). در شکل (۱) نیمرخ طولی رسوبات مخزن سد بر مبنای عملیات هیدروگرافی مخزن در سال‌های مختلف ارائه شده است. بر این اساس ارتفاع رسوبات پشت بدن سد با نرخ متوسط  $2$  متر در سال افزایش یافته و پیشانی دلتای سد هر ساله نیم تا یک کیلومتر به سمت بدن سد پیشروی داشته است (۷).

#### ب) نمونه برداشی رسوبات مخزن سد دز

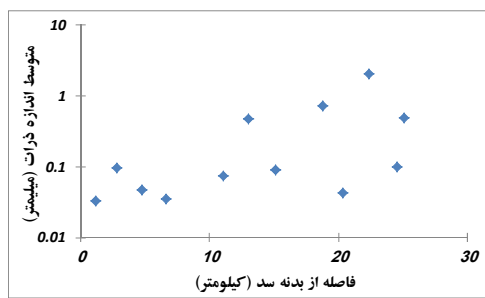
با توجه به تجمع بیش از حد رسوبات در جلوی آبگیر نیروگاه و برنامه‌های آتشی سازمان آب و برق خوزستان در انجام عملیات رسوب‌شوئی از طریق دریچه‌های آبیاری سد و توغل تحتانی جدید رسوب، تعیین خصوصیات فیزیکی رسوبات به عنوان یک پیش‌نیاز مورد نیاز می‌باشد. اگرچه نمونه-برداری دست نخورده از رسوبات چسبنده مخازن سدهای بلند در شرایط بالا بودن تراز آب مخزن از جمله کارهای بسیار دشوار و هزینه‌بر می‌باشد، ولی سازمان آب و برق خوزستان با توجه به ضرورت تعیین مشخصات فیزیکی رسوبات مخزن سد دز، در سال  $1383$  از طریق شرکت ماندرو این عملیات را انجام داد که از نتایج آن در این مقاله استفاده می‌شود (۱). در این عملیات رسوب سنگی، از یک شناور حفاری استفاده شد که دو سیستم نمونه-برداری بر روی آن تعییه شده بود (شکل ۲). سیستم اول که به دستگاه نمونه-بردار جرمی<sup>۱</sup> معروف است متشکل از یک لوله ای است که پائین آن قسمت نمونه-بردار و قسمت بالا جرمه با پره‌های هدایت کننده برای سقوط آزاد در آب در وضعیت قائم می‌باشد. این سیستم در مواردی استفاده می‌شود که عمق آب روی رسوبات مخزن به حد کافی زیاد بود (بیشتر از  $15$  متر) تا لوله به یک سرعت مناسب (تا حدود  $7$  متر بر ثانیه) برسد تا در لحظه برخورد با سطح رسوبات تا عمق مورد نظر در رسوبات وارد شود. با استفاده از این سیستم تا عمق حدود  $8$  متر نیز نمونه‌های دست نخورده به دست آمد. سیستم دوم دستگاه نمونه-برداری بود که تواماً با استفاده از دو نیروی چرخشی و فشاری (با جک هیدرولوکی) تا عمق  $8$  متر از رسوبات نمونه‌های رسوب دست نخورده می‌گرفت. با توجه به اینکه از  $65$  کیلومتر طول مخزن سد دز،  $25$  کیلومتر بالا دست بدن یازهای است که رسوبات آن همیشه مستغرق است و چون هدف این مطالعه بررسی خصوصیات فیزیکی رسوبات همیشه مستغرق است لذا در این یازه  $25$  کیلومتری در  $12$  مقطع عرضی گمانه‌های رسوب حفر شد. در این عملیات در هر مقطع عرضی یک تا سه نقطه انتخاب شد و شناور حفاری در موقعیت نقاط قرار گرفته و از اعماق مختلف، از سطح رسوب تا عمق  $8$  متری نمونه-برداری دست نخورده انجام گرفت و در  $23$  محل گمانه‌زنی مجموعاً ۷۹



شکل ۲- شناور حفاری مورد استفاده جهت نمونه‌بردای از رسوبات مخزن سد دز



شکل ۳- موقعیت ایستگاه‌های نمونه برداری از رسوبات مخزن سد دز



شکل ۴- تغییرات متوسط اندازه رسوبات مخزن سد دز نسبت به فاصله از بدن سد

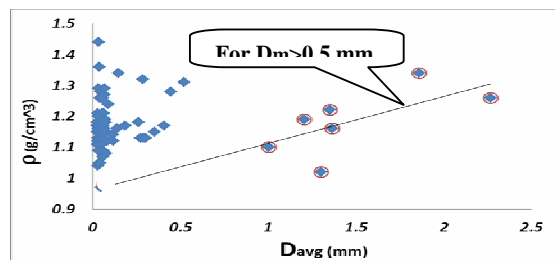
مشکل از ۳۶ درصد رس، ۵۷ درصد سیلت، ۶ درصد ماسه و ۱ درصد شن می‌باشد و اگرچه تغییرات دانه‌بندی رسوبات خیلی زیاد نمی‌باشد ولی طبق نمودار شکل (۴) هرچه به سمت بالادست سد حرکت کنیم متوسط اندازه ذرات رسوب بیشتر می‌شود. با توجه به مکانیزم انتقال رسوب در مخازن سدها چنین نتیجه‌ای منطقی می‌باشد. براساس داده‌های به دست آمده، مشخص شد جرم

## نتایج و بحث

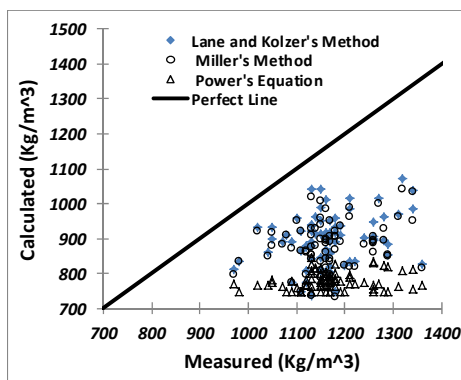
در این تحقیق به منظور بررسی خصوصیات فیزیکی رسوبات همیشه مستغرق مخزن سد دز، از نتایج اندازه‌گیری‌های میدانی استفاده شد و علاوه بر آن از روش‌های تجربی برای تعیین جرم مخصوص رسوبات استفاده گردید. نتایج نشان داد رسوبات مخزن سد دز در بازه ۲۵ کیلومتری بالادست بدن سد به طور متوسط

عمر نمونه‌ای که از عمق دو متر گرفته شده بود، برابر چهار سال تخمین زده شد. براساس نتایج به دست آمده (جدول ۴)، مشخص شد متوسط خطای (مطلق) روش‌های تجربی لین-کالر، میلر و روش نمائی در تخمین جرم مخصوص رسوبات همیشه مستغرق مخزن سد دز به ترتیب ۰.۲۳، ۰.۲۵ و ۰.۳۳ درصد و برای روش کالر-لارا برابر ۰.۱۴ درصد می‌باشد. همچنین مقادیر محاسباتی (با روش‌های مختلف) و اندازه‌گیری شده جرم مخصوص در نمودارهای شکل (۶) و (۷) نسبت به خط آرمانی نشان داده شده است. در این نمودار نیز دیده می‌شود همخوانی لازم بین مقادیر اندازه‌گیری و محاسباتی وجود ندارد. اگرچه این نتایج نشان می‌دهد روش‌های تجربی مذکور دارای خطای زیادی هستند ولی از بین این روش‌ها، به ترتیب روش کالر-لارا و روش لین-کالر دقت بیشتری دارد. همچنین با تفکیک رسوبات رسوبات ریزدانه و درشت دانه مشخص می‌شود برای رسوباتی که متوسط قطر ذرات آنها بیشتر از یک میلی‌متر بود، متوسط خطای (مطلق) روش‌های تجربی مذکور در تخمین جرم مخصوص رسوبات همیشه مستغرق مخزن سد با افزایش اندازه متوسط ذرات کاهش می‌یابد. این نتیجه نشان می‌دهد هرچه رسوبات ریزدانه‌تر باشد، کارائی روش‌های تجربی تخمین جرم مخصوص رسوبات کمتر می‌شود.

مخصوص اشیاع نمونه‌های رسوب با متوسط ۱/۷۲ بین ۱/۵۳ تا ۱/۹۳ گرم بر سانتی‌مترمکعب و نسبت پوکی رسوبات با متوسط ۱/۳۱ بین ۱/۷۸ تا ۱/۸۶ در تغییر بود. نتایج نشان داد با افزایش اندازه متوسط دانه‌های رسوب، بر جرم مخصوص رسوب افزوده می‌شد (شکل ۵)، این امر به خاطر پائین‌تر بودن جرم مخصوص رسوبات ریزدانه نسبت به درشت دانه بود. همچنین به منظور ارزیابی دقت روابط تجربی محاسبه جرم مخصوص رسوبات از نتایج اندازه‌گیری جرم مخصوص رسوبات استفاده شد. لذا محاسبات با روش‌های مختلف روش میلر، روش لین و کالر و روش رابطه نمائی برای تعیین جرم مخصوص رسوبات همیشه مستغرق مخزن در انجام گرفت که نتیجه در جدول (۴) ارائه شده است. لازم به توضیح است جهت انجام محاسبات برای رسوباتی که از عمر آنها بیش از یک سال گذشته بود (منظور نمونه‌های رسوب مربوط به رقومهای زیر سطح رسوبات) لازم بود عمر آنها تخمین زده شود. این تخمین براساس عمق نمونه و با توجه به نرخ بالا آمدن تراز رسوبات در هر مقطع انجام گرفت. نرخ بالا آمدن تراز رسوب نیز با توجه به نتیجه هیدرولوگی سال‌های قبل برای هر مقطع تعیین شد. به طور مثال اگر در یک مقطع نرخ بالا آمدن تراز رسوب ۰/۵ متر در سال بود،



شکل ۵- تغییرات جرم مخصوص رسوبات نسبت به متوسط اندازه ذرات رسوبات



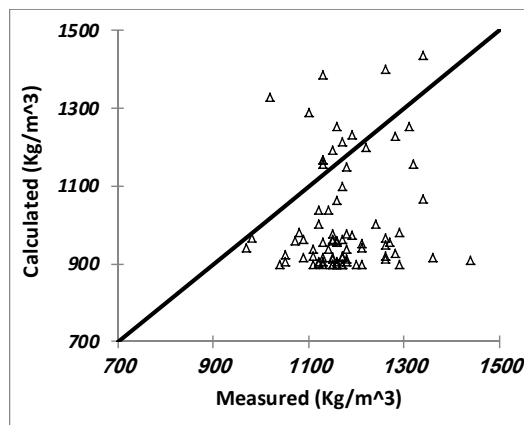
شکل ۶- مقایسه جرم مخصوص مشاهده‌ای و محاسبه‌ای نسبت به خط آرمانی در روش‌های ذکر شده در جدول ۳

جدول ۴- مقادیر جرم مخصوص محاسبه شده برای نمونه‌های رسوب با روش‌های مختلف (کیلوگرم بر مترمکعب)

ردیف	نام گمانه و مختصات	سطح رسوب (متر)	عمق نمونه از اندازه‌گیری	جرم مخصوص	جرم مخصوص محاسبه شده (Kg/m³)	خطای محاسبه جرم مخصوص (%)	Lane and Kolzer's Method	Miller's Method	Power's Equation
۱	<b>A</b>	-	۱۱۰	۷۴۸	۷۴۸	-۲۳	-۲۳	-۲۳	-۲۳
۲	X=261542	-۰/۷۵	۱۱۲۰	۷۶۷	۷۶۶	-۲۹	-۲۸	-۲۸	-۳۲
۳	Y=3611624	۱/۵	۱۱۵۰	۷۸۲	۷۹۱	-۳۱	-۳۰	-۳۰	-۳۲
۴	<b>B</b>	-	۱۱۱۰	۷۴۸	۹۲۱	-۱۷	-۱۷	-۱۷	-۳۳
۵	X=261725	-۰/۷۵	۱۱۳۰	۷۶۲	۹۲۸	-۱۸	-۱۷	-۱۷	-۳۳
۶	Y=3611617	۱/۵	۱۱۵۰	۷۷۵	۸۹۷	-۲۲	-۲۱	-۲۱	-۳۳
۷	<b>C</b>	-	۱۰۹۰	۷۴۸	۷۷۳	-۲۹	-۲۹	-۲۹	-۳۱
۸	X=261902	-۰/۷۵	۱۱۲۰	۷۶۸	۷۶۲	-۳۲	-۳۱	-۳۱	-۳۲
۹	Y=3611609	۱/۵	۱۱۵۰	۷۸۲	۷۹۱	-۳۱	-۳۰	-۳۰	-۳۲
۱۰		۱	۱۲۱۰	۷۷۱	۸۲۰	-۳۲	-۳۱	-۳۱	-۳۶
۱۱		۲	۱۱۸۰	۷۸۵	۸۶۹	-۲۶	-۲۵	-۲۵	-۳۳
۱۲	<b>D</b>	۳	۱۱۶۰	۸۰۵	۸۱۶	-۳۰	-۲۷	-۲۷	-۳۱
۱۳		۴	۱۱۶۰	۷۹۳	۹۸۷	-۱۵	-۱۳	-۱۳	-۳۲
۱۴	X=261772	۵	۱۱۴۰	۸۱۷	۸۸۱	-۲۳	-۲۰	-۲۰	-۲۸
۱۵	Y=3613147	۶	۱۱۴۰	۸۱۷	۹۲۸	-۱۹	-۱۶	-۱۶	-۲۸
۱۶		۷	۱۱۸۰	۸۲۶	۹۲۰	-۲۲	-۱۹	-۱۹	-۲۵
۱۷		۸	۱۱۳۰	۸۴۴	۸۷۷	-۲۲	-۱۹	-۱۹	-۲۵
۱۸		۹	۱۱۸۰	۷۷۶	۷۳۲	-۳۸	-۳۷	-۳۷	-۳۴
۱۹	<b>E</b>	۱۰	۱۱۷۰	۷۹۱	۷۹۸	-۳۲	-۳۰	-۳۰	-۳۲
۲۰		۱۱	۱۱۳۰	۸۰۰	۸۵۲	-۲۵	-۲۲	-۲۲	-۲۹
۲۱	X=261772	۱۲	۱۱۸۰	۸۰۰	۹۰۶	-۲۳	-۲۱	-۲۱	-۳۲
۲۲	Y=3613147	۱۳	۱۱۳۰	۸۰۹	۹۰۸	-۲۰	-۱۷	-۱۷	-۲۸
۲۳		۱۴	۱۱۳۰	۸۱۷	۹۲۸	-۲۳	-۲۰	-۲۰	-۲۸
۲۴		۱۵	۱۱۴۰	۸۱۷	۹۶۲	-۱۹	-۱۶	-۱۶	-۲۸
۲۵		۱۶	۱۱۸۰	۸۲۶	۹۵۸	-۲۲	-۱۹	-۱۹	-۲۵
۲۶		۱۷	۱۱۳۰	۸۴۴	۹۲۰	-۲۲	-۱۹	-۱۹	-۲۵
۲۷		۱۸	۱۱۸۰	۷۷۶	۷۴۷	-۳۸	-۳۷	-۳۷	-۳۴
۲۸	<b>F</b>	۱۹	۱۱۷۰	۷۹۱	۷۹۲	-۳۲	-۳۱	-۳۱	-۳۴
۲۹		۲۰	۱۱۳۰	۷۸۸	۸۳۷	-۲۹	-۲۷	-۲۷	-۳۳
۳۰	X=261772	۲۱	۱۱۸۰	۷۹۴	۸۹۴	-۲۳	-۲۱	-۲۱	-۳۲
۳۱	Y=3613147	۲۲	۱۱۳۰	۸۰۹	۹۰۸	-۲۰	-۱۷	-۱۷	-۲۸
۳۲		۲۳	۱۱۳۰	۸۱۷	۹۳۹	-۲۴	-۲۱	-۲۱	-۳۴
۳۳		۲۴	۱۱۳۰	۸۰۵	۸۵۵	-۲۴	-۲۱	-۲۱	-۳۴
۳۴		۲۵	۱۱۷۰	۷۷۷	۸۹۲	-۳۸	-۳۷	-۳۷	-۳۴
۳۵		۲۶	۱۱۷۰	۷۹۲	۸۶۶	-۳۲	-۳۱	-۳۱	-۳۴
۳۶	X=261772	۲۷	۱۱۸۰	۷۸۸	۸۳۵	-۲۶	-۲۵	-۲۵	-۳۳
۳۷	Y=3613289	۲۸	۱۱۳۰	۸۰۶	۱۰۱۸	-۱۰	-۸	-۸	-۳۰
۳۸	G X=261066	۲۹	۱۲۰۰	۷۴۸	۸۲۵	-۳۱	-۳۰	-۳۰	-۳۸
۳۹	Y=3613871	۳۰	۱۱۵۰	۷۶۵	۸۳۵	-۲۷	-۲۶	-۲۶	-۳۳
۴۰	<b>H</b>	۳۱	۱۰۸۰	۷۴۸	۹۱۰	-۱۶	-۱۶	-۱۶	-۳۱
۴۱		۳۲	۱۰۸۰	۷۶۵	۸۵۱	-۱۸	-۱۷	-۱۷	-۳۳
۴۲	X=260360	۳۳	۱۰۴۰	۷۶۵	۹۱۶	-۱۳	-۱۱	-۱۱	-۳۳
۴۳	Y=3614403	۳۴	۱۰۵۰	۷۷۵	۹۳۳	-۱۰	-۱۱	-۱۱	-۳۳
۴۴	<b>I</b>	۳۵	۱۱۱۰	۷۴۸	۸۶۶	-۲۲	-۲۲	-۲۲	-۳۳
۴۵	X=260383	۳۶	۱۰۷۰	۷۶۴	۸۸۳	-۱۷	-۱۷	-۱۷	-۳۳
۴۶		۳۷	۱۰۷۰	۷۷۸	۸۷۳	-۲۰	-۱۸	-۱۸	-۳۳
۴۷	Y=3614663	۳۸	۱۰۹۰	۷۴۸	۸۰۸	-۳۰	-۳۰	-۳۰	-۳۴
۴۸	<b>J</b>	۳۹	۱۱۵۰	۸۰۸	۸۰۸	-۳۰	-۳۰	-۳۰	-۳۴
۴۹	X=260405	۴۰	۱۱۶۰	۷۶۵	۸۷۰	-۲۶	-۲۵	-۲۵	-۳۴
۵۰		۴۱	۱۱۶۰	۷۷۶	۸۸۸	-۲۳	-۲۲	-۲۲	-۳۴
۵۱	X=260405	۴۲	۱۲۹۰	۷۴۸	۸۵۳	-۳۴	-۳۴	-۳۴	-۴۲
۵۲		۴۳	۱۳۶۰	۷۶۷	۸۲۶	-۳۹	-۳۹	-۳۹	-۴۲
۵۳	X=2614904	۴۴	۱۴۴۰	۷۷۹	۸۶۳	-۳۹	-۳۹	-۳۹	-۴۲
۵۴	Y=3614904	۴۵	۱۰۵۰	۷۴۸	۸۹۳	-۴۴	-۴۴	-۴۴	-۴۲
۵۵	<b>L</b>	۴۶	۱۱۷۰	۷۴۸	۸۹۳	-۴۴	-۴۴	-۴۴	-۴۲
۵۶	X=261876	۴۷	۱۱۵۰	۷۶۳	۹۴۲	-۱۸	-۱۷	-۱۷	-۴۲
۵۷		۴۸	۱۱۷۰	۷۸۳	۸۴۱	-۲۸	-۲۶	-۲۶	-۴۲
۵۸	Y=3617369	۴۹	۱۱۷۰	۷۴۸	۸۹۹	-۲۲	-۲۲	-۲۲	-۴۲
۵۹	<b>M</b>	۵۰	۱۱۶۰	۷۶۳	۸۶۳	-۲۳	-۲۲	-۲۲	-۴۲
۶۰	X=262056	۵۱	۱۱۲۰	۷۶۳	۸۷۴	-۲۳	-۲۲	-۲۲	-۴۲
۶۱		۵۲	۱۱۲۰	۷۸۱	۸۶۰	-۲۳	-۲۲	-۲۲	-۴۲

## ادامه جدول ۴.

ردیف	نام گمانه و مختصات	سطح رسوب (متر)	عمق نمونه از اندازه گیری (Kg/m³)	جرم مخصوص	جرم مخصوص محاسبه شده (Kg/m³)	خطای محاسبه جرم مخصوص (%)	Lane and Kolzer's Method	Miller's Method	Power's Equation	Lane and Kolzer's Method	Miller's Method	Power's Equation	Miller's Method	Power's Equation	Lane and Kolzer's Method	Miller's Method	Power's Equation	
۴۸	N	-	۱۱۷۰	۹۵۰	۹۵۰	۷۴۸	-۱۹	-۱۹	-۳۶	۹۰۸	۹۰۸	۷۶۵	-۲۳	-۲۲	-۳۵	۸۷۸	۸۷۸	-۲۶
۴۹	X=261244	-۰/۷۵	۱۱۸۰	۹۱۸	۹۱۸	۷۸۰	-۱۵	-۱۵	-۳۶	۸۴۲	۸۴۲	۷۴۸	-۲۵	-۲۵	-۳۴	۱۰۵۰	۱۰۵۰	-۲۶
۵۰	Y=3618546	۰/۵	۱۰۵۰	۸۹۷	۸۹۷	۷۵۹	-۱۳	-۱۳	-۳۱	۹۵۳	۹۵۳	۷۵۹	-۱۳	-۱۳	-۳۱	۱۱۰	۱۱۰	-۲۵
۵۱	O	-	۱۱۳۰	۸۴۲	۸۴۲	۷۴۸	-۲۵	-۲۵	-۳۴	۸۴۲	۸۴۲	۷۴۸	-۲۵	-۲۵	-۳۴	۱۱۳۰	۱۱۳۰	-۲۶
۵۲	X=261272	-۰/۷۵	۱۱۰۰	۹۶۰	۹۶۰	۷۶۷	-۸	-۸	-۲۵	۹۲۳	۹۲۳	۷۶۷	-۱۰	-۸	-۳۵	۱۰۲۰	۱۰۲۰	-۲۵
۵۳	Y=3618365	۰/۵	۱۰۲۰	۹۳۴	۹۳۴	۷۴۸	-۱۵	-۱۵	-۳۴	۸۳۵	۸۳۵	۷۴۸	-۱۵	-۱۵	-۳۴	۹۸۰	۹۸۰	-۲۶
۵۴	P	-	۹۸۰	۸۳۵	۸۳۵	۷۷۱	-۱۶	-۱۶	-۲۱	۸۱۱	۸۱۱	۷۹۸	-۱۸	-۱۸	-۲۱	۹۷۰	۹۷۰	-۲۶
۵۵	X=259178 Y=3618737	-۰/۷۵	۹۷۰	۸۱۱	۸۱۱	۷۴۸	-۲۱	-۲۱	-۳۷	۹۳۵	۹۳۵	۷۶۵	-۲۳	-۲۲	-۳۵	۱۱۹۰	۱۱۹۰	-۲۶
۵۶	Q	-	۱۱۹۰	۹۳۵	۹۳۵	۷۴۸	-۲۲	-۲۲	-۳۵	۱۱۷۰	۱۱۷۰	۷۶۵	-۲۳	-۲۲	-۳۵	-۰/۷۵	-۰/۷۵	-۲۶
۵۷	X=259378 Y=3618737	-۰/۷۵	۱۱۷۰	۹۱۶	۹۱۶	۷۶۵	-۲۳	-۲۲	-۳۵	۱۱۷۰	۱۱۷۰	۷۶۵	-۲۳	-۲۲	-۳۵	۹۷۰	۹۷۰	-۲۶
۵۸	R	۱	۱۲۲۰	۸۲۱	۸۲۱	۷۷۰	-۲۲	-۲۲	-۳۷	۸۲۳	۸۲۳	۷۷۰	-۲۲	-۲۲	-۳۷	۱۲۲۰	۱۲۲۰	-۲۶
۵۹	S	۲	۱۱۹۰	۸۹۲	۸۹۲	۷۸۰	-۲۴	-۲۴	-۳۴	۹۰۹	۹۰۹	۷۸۰	-۲۵	-۲۴	-۳۴	۱۱۹۰	۱۱۹۰	-۲۶
۶۰	R	۳	۱۱۶۰	۸۶۶	۸۶۶	۷۹۴	-۲۵	-۲۵	-۳۲	۸۴۴	۸۴۴	۷۹۴	-۲۷	-۲۵	-۳۲	۱۱۶۰	۱۱۶۰	-۲۶
۶۱	X=262237	۴	۱۱۵۰	۹۸۸	۹۸۸	۸۰۲	-۱۴	-۱۴	-۳۰	۹۶۰	۹۶۰	۷۷۰	-۱۷	-۱۴	-۳۰	۱۱۵۰	۱۱۵۰	-۲۶
۶۲	Y=3619405	۵	۱۲۸۰	۹۶۴	۹۶۴	۸۲۲	-۲۵	-۲۵	-۳۶	۹۲۸	۹۲۸	۷۶۵	-۲۷	-۲۵	-۳۶	۱۲۸۰	۱۲۸۰	-۲۶
۶۳	Y=3619405	۶	۱۱۵۰	۱۰۴۳	۱۰۴۳	۸۱۵	-۹	-۹	-۲۹	۱۰۰۸	۱۰۰۸	۷۶۸	-۲۹	-۲۹	-۳۹	۱۰۴۳	۱۰۴۳	-۲۶
۶۴	S	۷	۱۲۶۰	۸۹۳	۸۹۳	۷۶۸	-۲۹	-۲۹	-۴۱	۸۹۳	۸۹۳	۷۶۸	-۲۹	-۲۹	-۴۱	۱۲۶۰	۱۲۶۰	-۲۶
۶۵	X=263935 Y=3619129	-۰/۷۵	۱۲۶۰	۹۰۵	۹۰۵	۷۶۸	-۲۸	-۲۸	-۴۹	۱۲۶۰	۱۲۶۰	۷۶۸	-۲۹	-۲۸	-۴۹	۹۰۵	۹۰۵	-۲۶
۶۶	T	-	۱۱۳۰	۷۳۷	۷۳۷	۷۴۸	-۳۵	-۳۵	-۴۴	۷۳۷	۷۳۷	۷۴۸	-۳۵	-۳۵	-۴۴	۱۱۳۰	۱۱۳۰	-۲۶
۶۷	X=264526	-۰/۷۵	۱۲۶۰	۸۹۴	۸۹۴	۷۵۷	-۲۹	-۲۹	-۴۰	۱۲۶۰	۱۲۶۰	۷۵۷	-۲۹	-۲۹	-۴۰	۱۲۶۰	۱۲۶۰	-۲۶
۶۸	Y=321215	۰/۵	۱۳۴۰	۱۰۴۰	۱۰۴۰	۷۵۶	-۲۲	-۲۲	-۴۴	۱۰۴۰	۱۰۴۰	۷۵۶	-۲۲	-۲۲	-۴۴	۱۳۴۰	۱۳۴۰	-۲۶
۶۹	U	۱	۱۲۴۰	۸۸۵	۸۸۵	۷۷۶	-۲۷	-۲۷	-۴۷	۹۰۲	۹۰۲	۷۷۶	-۲۹	-۲۷	-۴۷	۱۲۴۰	۱۲۴۰	-۲۶
۷۰	X=265793	۳	۱۲۱۰	۹۸۸	۹۸۸	۷۹۷	-۱۶	-۱۶	-۴۹	۱۰۱۵	۱۰۱۵	۷۹۷	-۱۸	-۱۶	-۴۹	۱۲۱۰	۱۲۱۰	-۲۶
۷۱	Y=3619567	۴	۱۲۶۰	۸۹۹	۸۹۹	۸۳۱	-۲۹	-۲۹	-۴۹	۱۰۹۹	۱۰۹۹	۸۳۱	-۲۲	-۲۹	-۴۹	۱۲۶۰	۱۲۶۰	-۲۶
۷۲	V	۱	۱۲۷۰	۱۰۱۴	۱۰۱۴	۷۶۹	-۲۰	-۲۰	-۴۹	۱۰۱۴	۱۰۱۴	۷۶۹	-۲۱	-۱۹	-۴۹	۱۲۷۰	۱۲۷۰	-۲۶
۷۳	V	۲	۱۲۱۰	۹۸۵	۹۸۵	۷۸۸	-۱۹	-۱۹	-۴۷	۸۸۴	۸۸۴	۷۸۸	-۲۴	-۲۴	-۴۷	۱۲۱۰	۱۲۱۰	-۲۶
۷۴	Y=3619441	۳	۱۲۹۰	۸۸۴	۸۸۴	۸۱۹	-۳۱	-۳۱	-۴۹	۱۲۹۰	۱۲۹۰	۸۱۹	-۲۴	-۲۴	-۴۹	۱۲۹۰	۱۲۹۰	-۲۶
۷۵	X=265855	۴	۱۲۴۰	۹۸۴	۹۸۴	۸۱۱	-۲۷	-۲۷	-۴۹	۱۰۵۱	۱۰۵۱	۸۱۱	-۲۸	-۲۷	-۴۹	۱۲۴۰	۱۲۴۰	-۲۶
۷۶	Y=3619441	۵	۱۲۶۰	۹۴۸	۹۴۸	۸۳۴	-۲۵	-۲۵	-۴۹	۹۴۸	۹۴۸	۸۳۴	-۲۸	-۲۵	-۴۹	۱۲۶۰	۱۲۶۰	-۲۶
۷۷	Y=3619567	۶	۱۲۲۰	۱۰۷۴	۱۰۷۴	۸۰۸	-۱۹	-۱۹	-۴۹	۱۰۷۴	۱۰۷۴	۸۰۸	-۲۱	-۱۹	-۴۹	۱۲۲۰	۱۲۲۰	-۲۶
۷۸	W	-	۱۲۸۰	۸۹۵	۸۹۵	۷۶۸	-۳۰	-۳۰	-۴۲	۸۹۵	۸۹۵	۷۶۸	-۲۰	-۳۰	-۴۲	۱۲۸۰	۱۲۸۰	-۲۶
۷۹	X=265883 Y=3618623	-۰/۷۵	۱۳۱۰	۹۷۱	۹۷۱	۷۶۴	-۲۶	-۲۶	-۴۲	۹۶۱	۹۶۱	۷۶۴	-۲۷	-۲۶	-۴۲	۱۳۱۰	۱۳۱۰	-۲۶
۸۰	متوسط		۱۱۷۲	۸۹۷	۸۹۷	۸۸۱	-۲۳	-۲۳	-۴۳	۷۷۸	۷۷۸	۷۷۸	-۲۵	-۲۳	-۴۳	۱۱۷۲	۱۱۷۲	-۲۶



شکل ۷- مقایسه جرم مخصوص مشاهده‌ای با روش کالزر و لارا نسبت به خط آدمانی

اختلاف دارد. این درصدهای اختلاف برای رسوبات رسی خیلی بیشتر است. بالا بودن جرم مخصوص رسوبات رسی ممکن است بخاطر نوع کانی‌های رسی و حد خمیری و حد روانی پائین باشد. از سوی دیگر با توجه به اینکه رابطه کالزر-لارا دقیق‌تری نسبت به سایر روش‌ها داشت لذا براساس قالب این روش سعی شد یک رابطه جدید برای محاسبه جرم مخصوص رسوبات سد در ارائه شود. بدین منظور از تکنیک آنالیز رگرسیون چند متغیره استفاده شد و بر اساس داده‌های اندازه‌گیری جرم مخصوص اولیه رسوبات، رابطه زیر با  $R^2 = 0.96$  به دست آمد.

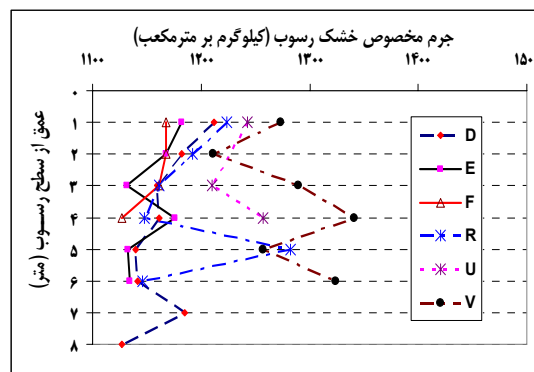
$$\rho = 4.03P_f^{1.229} + 12.1P_s^{1.05} \quad (9)$$

که در آن  $\rho$ : جرم مخصوص رسوب (کیلوگرم بر مترمکعب)،  $P_f$  و  $P_s$ : به ترتیب درصد رسوبات ریزدانه (مجموع درصد رس و سیلت) و درصد رسوبات درشت دانه (مجموع درصد ماسه و شن) می‌باشد. خطای متوسط این رابطه پنج درصد می‌باشد و از نظر آماری این رابطه در سطح اعتماد یک درصد معتبر می‌باشد. این رابطه برای

برای نمونه‌های تازه ته نشین شده (رسوبات سطحی) خطای محاسبه جرم مخصوص ۲۶ درصد و برای رسوبات با عمر بیشتر از سه سال این خطای ۱۸ درصد به دست آمده است. این نتیجه نشان می‌دهد عدمه خطای روش‌های تجربی به نحوه محاسبه جرم مخصوص اولیه رسوبات (یک سال پس از رسوبگذاری) برمی‌گردد. برای بررسی بیشتر این مسئله با عنایت به اینکه در جدول پیشنهادی لارا-پیمرتن، جرم مخصوص رسوب به صورت یک معادله خطی سه متغیره ( $\rho_1 P_f + \sum \rho_i P_i$ ) نوشته می‌شود، آنالیز رگرسیون سه متغیره بر اساس داده‌های اندازه‌گیری جرم مخصوص اولیه رسوبات انجام و رابطه زیر با  $R^2 = 0.95$  به دست آمد.

$$\rho_1 = 1026P_C + 1203P_M + 1262P_S \quad (8)$$

که در آن  $\rho_1$ : جرم مخصوص اولیه رسوب (کیلوگرم بر مترمکعب)،  $P_C$ ،  $P_M$  و  $P_S$ : به ترتیب درصد رسوبات رس، سیلت و ماسه می‌باشد. بدین ترتیب ملاحظه می‌شود جرم مخصوص خشک رسوبات رس، سیلت و ماسه به ترتیب ۱۲۶۲، ۱۲۰۳ و ۱۰۲۶ کیلوگرم بر مترمکعب به دست آمده که نسبت به مقادیر ارائه شده توسط لارا و پیمرتن (جدول ۲ به ترتیب ۱۴۷، ۷ و ۱۰ درصد



شکل ۸- تغییرات جرم مخصوص خشک رسوب نسبت به عمق برای گمانه‌های مختلف

### نتیجه‌گیری

نتایج به دست آمده در این تحقیق نشان می‌داد رسوبات مخزن سد از در بازه ۲۵ کیلومتری از بدنه سد به سمت بالا دست دارای تغییرات زیاد نبوده و عمدها ریزدانه هستند ولی نتایج روند درشت دانه تر شدن رسوبات از بدنه سد به سمت بالا دست مخزن را تأیید می‌کند. همچنین کاربرد روش‌های تجربی برآورد جرم مخصوص رسوبات مخازن سدها برای سد از نشان داد که این روش‌ها به طور متوسط دارای خطای حدود ۳۰ درصد می‌باشند که این نتیجه بیانگر کارائی پائین روش‌های تجربی برای برآورد جرم مخصوص رسوبات مخازن سدها برای سد از نشان داد اصلی پائین بودن دقت سد می‌باشد. بررسی بیشتر نشان داد علت اصلی پائین بودن دقت این روش‌ها، خطای تعیین جرم مخصوص اولیه رسوبات بوده لذا جرم مخصوص خشک رسوبات رس، سیلت و ماسه برای رسوبات مخزن سد از توجه به نتایج آنالیز رگرسیون چند متغیره به ترتیب ۱۲۶۲، ۱۰۳ و ۱۰۰۳ کیلوگرم برمتکمک به دست آمد که نسبت به مقادیر ارائه شده توسط لارا و پمیرتن به ترتیب ۱۴۷، ۷ و ۱۰ درصد اختلاف داشت و این نشان می‌دهد منبع اصلی خطای روش‌های تجربی، نحوه برآورد جرم مخصوص رسوبات رسی می‌باشد.

همچنین در این تحقیق یک رابطه جدید برای محاسبه جرم مخصوص رسوبات مخزن سد از بر مبنای دو پارامتر درصد رسوبات ریزدانه (مجموع درصد رس و سیلت) و درصد رسوبات درشت دانه (مجموع درصد ماسه و شن) به دست آمد.

### سپاسگزاری

بدینوسیله از سازمان آب و برق خوزستان به خاطر اطلاعاتی که در اختیار این تحقیق قراردادند سپاسگزاری می‌شود.

رسوبات تا عمق ۸ متر رسوبات مخزن سد از معتبر می‌باشد.

نکته دیگر تغییرات جرم مخصوص رسوبات نسبت به عمق می‌باشد. با توجه به اینکه رسوبات لایه‌های زیرین زمان بیشتری از نه نشین شدن آنها می‌گذرد و علاوه بر آن تحت فشار لایه‌های بالائی هستند، انتظار می‌رود جرم مخصوص رسوبات لایه‌های زیرین بیشتر از لایه‌های بالائی باشد. اگرچه این قاعده ممکن است در مواردی در عمل اتفاق نیافتد ولی اغلب مشاهدات این نظریه را تأیید کرده‌اند. در روابط لین و میلر، تغییرات جرم مخصوص نسبت به عمر آنها به صورت یک رابطه لگاریتمی نشان داده شده است. حال با توجه به اینکه در تحقیق حاضر در برخی نقاط چند نمونه از اعمق مختلف گرفته شده است لذا در اینجا این موضوع بررسی می‌شود. در گمانه‌های D، E، F، R، U و V نمونه برداری از عمق-های مختلف انجام شده که در نموادر شکل (۸) تغییرات جرم مخصوص خشک رسوب نسبت به عمق برای هر یک از این گمانه‌ها نشان داده شده است. ملاحظه می‌شود در مواردی روند کلی تغییرات جرم مخصوص با عمق افزایشی بوده ولی در مواردی هم (مانند گمانه F) روند کلی تغییرات جرم مخصوص با عمق کاهشی است. این امر بخاطر این است که در فرآیند متراکم شدن رسوبات عوامل زیادی دخالت دارند که باعث می‌شوند در مواردی هم نتیجه بر عکس باشد و البته تعیین دلایل روش این مسئله بیازمند انجام بررسی‌های بیشتر می‌باشد. به هر حال در کل گمانه‌ها کمترین جرم مخصوص مشاهده شده نسبت به بیشترین مقدار حدود ۱۲ درصد اختلاف دارد و این اختلاف به طور متوسط هفت درصد و در مواردی به سه درصد هم می‌رسد. به منظور تعیین نرخ تغییرات جرم مخصوص رسوبات با توجه به تخمین عمر رسوبگذاری لایه‌های مختلف مشخص شد که این نرخ برای رسوبات سد از ۰/۵ درصد می‌باشد که در مقایسه با مقادیر روش‌های لین و میلر (با توزیع لگاریتمی نسبت به زمان) که به ترتیب برابر ۰/۱۵ و ۰/۰۵ درصد است اختلاف معنی دار دارد.

### منابع

- ۱- بی‌نام. ۱۳۸۴. مطالعات و تحقیقات ژئوتکنیک بر روی رسوبات سد. گزارش طرح تحقیقاتی، مهندسین مشاور ماندرو، سازمان آب و برق خوزستان.
- 2- Anonymous. 2004. Dez dam rehabilitation project. Stage1: Sedimentation study. Acres International and Dezab Consulting Engineering, Report to Khuzestan Water and Power Authority, Ahwaz, Iran.
- 3- Lane, E.W. and V. A. Koelzer. 1943. Density of sediments deposited in reservoirs. Report No.9, In A Study of Methods Used in Measurement and Analysis of Sediment Loads in Streams. Hydraulic Lab. U.S. of Iowa.
- 4- Miller, Carl. R. 1953. Determination of the unit weight of sediment for use in sediment volume compaction. Bureau of Reclamation, Denver. Colorado.6pp
- 5- Morris, G. L. and J. Fan. 2000. Reservoir sedimentation handbook. McGraw-Hill, New York, USA.

- 6- Swamee, P. K. 2001. Reservoir capacity depletion on account of sedimentation. International Journal of Sediment Research, 16(3): 408-415.
- 7- Samadi, H. and V.J. Galay, 2005. Turbidity current measurements within the Dez reservoir, Iran. Proceedings of the 17th Canadian Hydrotechnical Conference, Hydrotechnical Engineering: Cornerstone of a Sustainable Environment, August 17-19, 2005, Edmonton, Alberta, pp: 127-127.
- 8- Geiger, A. F., 1965, Developing sediment storage requirements for upstream retarding reservoirs in Proc. of Federal Inter-Agency Sedimentation Conf., Jackson, Miss., 1963:U.S. Dept. Agriculture, Agr. Research Service Misc. Pub. 970, p. 881-885.